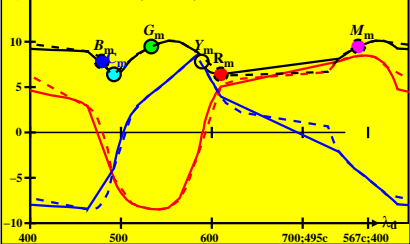


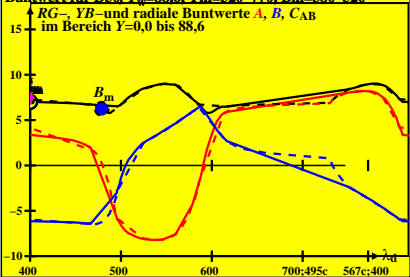
CIE-Daten für antichromatische Optimalfarben von maximalem Buntwert für D65, $Y_m=88.6$, $Y_m=520\ 770$, $B_m=380\ 520$

↑ RG -, YB - und radiale Buntwerte A , B , C_{AB} im Bereich $Y=0,0$ bis $88,6$

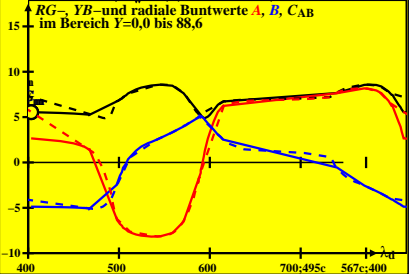


CIE-Daten für antichromatische Optimalfarben von maximalem Buntwert für D50, $Y_w=88.6$, $Y_m=520.770$, $B_m=380.520$

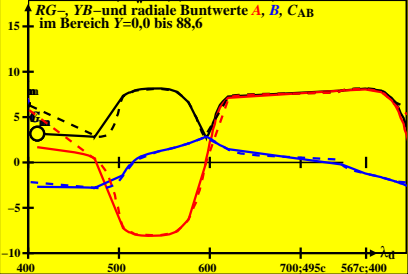
↑ RG -, YB - und radiale Buntwerte A , B , C_{AB} im Bereich $Y=0,0$ bis $88,6$



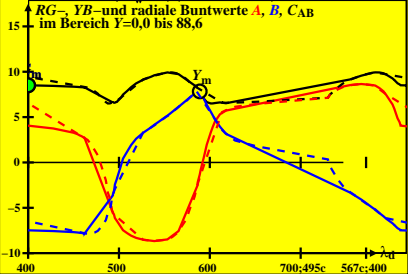
CIE-Daten für antichromatische Optimalfarben von maximalem Buntwert für P40, $Y_w=88.6$, $Y_m=520\ 770$, $B_m=380\ 520$



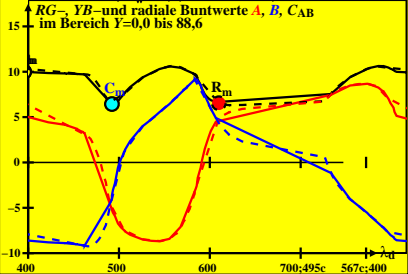
CIE-Daten für antichromatische Optimalfarben von maximalem Buntwert für A00, $Y_w=88,6$, $Y_m=520\ 770$, $B_m=380\ 520$



CIE-Daten für antichromatische Optimalfarben von maximalem Buntwert für E00, $Y_w=88.6$, $Y_m=520.770$, $B_m=380.520$

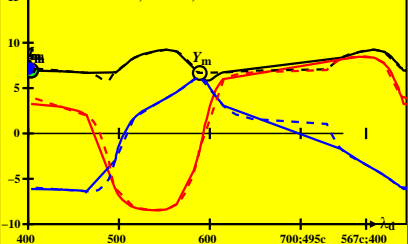


CIE-Daten für antichromatische Optimalfarben von maximalem Buntwert für C00, $Y_m=88,6$, $Y_m=520$, $B_m=380$, 520

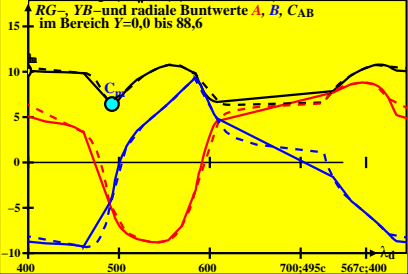


CIE-Daten für antichromatische Optimalfarben von maximalem Buntwert für P00, $Y_w=88.6$, $Y_m=520\ 770$, $B_m=380\ 520$

↑ RG -, YB - und radiale Buntwerte A , B , C_{AB} im Bereich $Y=0,0$ bis $88,6$



CIE-Daten für antichromatische Optimalfarben von maximalem Buntwert für Q00, $Y_w=88,6$, $Y_m=520,770$, $B_m=380,520$



0-000030-L0

SG841-7A_1